

ชลศาสตร์ของการฉาบล้างน้ำในคลองโดยน้ำขึ้นน้ำลง

นายศุภกร ศิรพจนกุล

ศูนย์วิทยทรัพยากร จุฬาลงกรณ์มหาวิทยาลัย

วิทยานิพนธ์นี้เป็นส่วนหนึ่งของการศึกษาตามหลักสูตรปริญญาวิศวกรรมศาสตรมหาบัณฑิต^๑
สาขาวิชาวิศวกรรมแหล่งน้ำ ภาควิชาวิศวกรรมแหล่งน้ำ

คณะวิศวกรรมศาสตร์ จุฬาลงกรณ์มหาวิทยาลัย

ปีการศึกษา 2546

ISBN 974-17-5464-7

ลิขสิทธิ์ของจุฬาลงกรณ์มหาวิทยาลัย

HYDRAULICS OF TIDAL FLUSHING OF WATER IN A CANAL

Mr. Suphakorn Sirapojanakun

ศูนย์วิทยทรัพยากร
จุฬาลงกรณ์มหาวิทยาลัย

A Thesis Submitted in Partial Fulfillment of the Requirements
for the Degree of Master of Engineering in Water Resources Engineering

Department of Water Resources Engineering

Faculty of Engineering

Chulalongkorn University

Academic Year 2003

ISBN 974-17-5464-7

หัวข้อวิทยานิพนธ์
โดย
สาขาวิชา
อาจารย์ที่ปรึกษา

ชลศาสตร์ของการช่างด้านน้ำในคลองโดยน้ำขึ้นน้ำลง
นายศุภกร ศิรพจนกุล
วิศวกรรมแหล่งน้ำ
รองศาสตราจารย์ ดร.ชัยพันธุ์ รักวิจัย

คณะกรรมการศาสตร์ จุฬาลงกรณ์มหาวิทยาลัย อนุมัติให้นับวิทยานิพนธ์ฉบับนี้เป็นส่วน
หนึ่งของการศึกษาตามหลักสูตรปริญญามหาบัณฑิต

..... คณบดีคณะวิศวกรรมศาสตร์
(ศาสตราจารย์ ดร.ดิเรก ลาวันยศิริ)

คณะกรรมการสอบบัณฑิต

..... ประธานกรรมการ
(ผู้ช่วยศาสตราจารย์ ดร.เสรี จันทรโยธา)

..... อาจารย์ที่ปรึกษา
(รองศาสตราจารย์ ดร.ชัยพันธุ์ รักวิจัย)

..... กรรมการ
(รองศาสตราจารย์ ดร.สุจิริต คุณธนกุลวงศ์)

..... กรรมการ
(รองศาสตราจารย์ ดร.ทวนทัน กิตติ์พศាលสกุล)

ศุภกร ศิรพจนกุล : ชลศาสตร์ของการซับล้างน้ำในคลองโดยน้ำขึ้นน้ำลง
 (HYDRAULICS OF TIDAL FLUSHING OF WATER IN A CANAL)
 อ. ที่ปรึกษา : รศ.ดร. ชัยพันธุ์ รักวิจัย, 299 หน้า. ISBN 974-17-5464-7.

การศึกษาวิทยานิพนธ์นี้ มุ่งศึกษาพฤติกรรมชลศาสตร์ของคลองภายในทั้งน้ำขึ้นน้ำลง หัวใจคือคลองปลายตันและคลองปลายเปิด 2 ด้าน รวมทั้งพฤติกรรมชลศาสตร์ระบบการซับล้างน้ำโดยน้ำขึ้นน้ำลง โดยศึกษาจากแบบจำลองชลศาสตร์ ณ ห้องปฏิบัติการแบบจำลองชลศาสตร์และขยายฝังหะเด ภาควิชา วิศวกรรมแหล่งน้ำ จุฬาลงกรณ์มหาวิทยาลัย

แบบจำลองชลศาสตร์ประกอบด้วย แบบจำลองทางน้ำ แบบจำลองแม่น้ำคลื่น (หะเด) เครื่องกำเนิดคลื่นน้ำขึ้นน้ำลง เครื่องวัดความสูงคลื่น เครื่องวัดความเร็วกระแสน้ำ และทุ่นวัดความเร็ว แบบจำลองทางน้ำสร้างขึ้นด้วยพลาสติก ขนาด $0.15 \text{ m.} \times 0.20 \text{ m.}$ ยาว 22 m. ซึ่งมีปลายทั้งสองด้านของแบบจำลองทางน้ำเชื่อมต่อกับแบบจำลองแม่น้ำคลื่น และมีประตูระบายน้ำติดตั้งเพื่อควบคุมการไหล ที่มีการผันแปรความสูงคลื่นในช่วง $0.30-1.20 \text{ cm.}$ และควบคุมน้ำขึ้นน้ำลงอยู่ในช่วง $160-500 \text{ วินาที}$

จากการศึกษาทั้ง 24 ชุดการทดลอง พบร่วมกับพฤติกรรมที่เกิดขึ้นในคลองปลายตันจะมีระยะการเคลื่อนที่ของอนุภาคน้ำมากที่สุดบริเวณปากคลอง และยังมีการเคลื่อนที่ลดลงตามระยะทางจนเกือบไม่มีการเคลื่อนที่ของอนุภาคน้ำบริเวณปลายด้านปิด ในกรณีคลองปลาย 2 ด้านเชื่อมต่อกับหะเด พฤติกรรมที่เกิดขึ้นจะคล้ายกับคลองปลายตัน ต่างกันที่คลองที่มีปลาย 2 ด้าน จะเกิดสภาพน้ำนิ่งที่ระยะกึ่งกลางความยาวคลอง ซึ่งระยะการเคลื่อนที่ของอนุภาคน้ำทั้ง 2 กรณี ขึ้นอยู่กับระยะทางจากปากคลอง และความชันคลื่นเป็นหลัก

สำหรับระบบซับล้างโดยน้ำขึ้นน้ำลง ที่อาศัยการเปิด-ปิดประตูระบายน้ำตามการขึ้นลงของระดับน้ำ เพื่อให้มีการไหลแบบทิศทางเดียว ทำให้เกิดการหมุนเวียนของน้ำในคลองลงสู่หะเด ซึ่งการเคลื่อนที่ของอนุภาคน้ำขึ้นอยู่กับจังหวะการเปิด-ปิดประตูระบายน้ำ นอกจากนี้ในการศึกษาได้เสนอความสมมัติของความเร็วทุ่นตามระยะทางในคลองในช่วงน้ำขึ้นน้ำลง เวลาเดินทางของอนุภาคน้ำ ความเร็วเฉลี่ย และอัตราการซับล้าง เพื่อนำไปเป็นแนวทางเบื้องต้นในการระบายน้ำและไถน้ำเสียในคลองที่อยู่ภายใต้อิทธิพลของน้ำขึ้นน้ำลง โดยเฉพาะคลองที่มีปลายคลองเชื่อมต่อกับหะเด

ภาควิชา.....	วิศวกรรมแหล่งน้ำ.....	ลายมือชื่อนิสิต.....	
สาขาวิชา.....	วิศวกรรมแหล่งน้ำ.....	ลายมือชื่ออาจารย์ที่ปรึกษา.....	
ปีการศึกษา.....	2546.....		

4370523821 : MAJOR WATER RESOURCES ENGINEERING

KEY WORD: HYDRAULICS / HYDRAULIC MODEL / FLUSHING / CANAL

SUPHAKORN SIRAPOJANAKUN: HYDRAULICS OF TIDAL FLUSHING OF WATER IN A CANAL. THESIS ADVISOR: ASSOC.PROF.Dr. CHAIPANT RUKVICHAI, 299 pp. ISBN 974-17-5464-7.

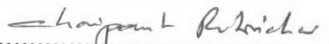
This thesis aimed at studying hydraulic behavior in a canal under the tidal effect for the cases of single end closed canal, both opened canal and a proposed tidal flushing system. This investigation was studied using a hydraulic model at the Hydraulic and Coastal Model Laboratory, Department of Water Resources Engineering, Chulalongkorn University.

The hydraulic model consisted of a canal model, a wave basin (sea), a tidal wave generator, wave height meters, a current meter and rod floats. The canal model was made of plastic sheets with dimension $0.15 \text{ m} \times 0.20 \text{ m} \times 22 \text{ m}$. Both end of the canal were connected to the wave basin and controlled by sluice gates. For each experiment, the wave height was varied between 0.30–1.20 cm and the wave period was varied between 160 – 500 seconds.

Resulting from 24 cases of experiments, it was found that the water particle movement of the single end-closed canal was high near the mouth of the canal. And the rate of movement decreased with distance until almost no movement at the closed end of the canal. In case of both end opened canal, the water particle behavior was similar to the single end closed canal, but no movement occurred at the mid-point of the canal. The length of the water displacement mainly depended on the distance from the mouth of the canal and the tidal wave steepness.

In case of the proposed tidal flushing system, which was made possible by the gate operation related to the tidal cycle, the water thus flow in one-way direction and the circulation occurred in the canal. The water particle movement depended on the gate operation. In addition, this study proposed some relationships such as rod float velocity along the canal under tidal cycle, water travelling time, average current velocity and flushing rate. These relationships can be used as a guideline for consideration about draining and flushing a canal under the tidal effect, especially for a canal connected to the sea.

Department..Water.Resources.Engineering. Student's signature.....

Field of study.Water.Resources.Engineering. Advisor's signature.....

Academic year.....2003.....

กิตติกรรมประกาศ

การทำวิทยานิพนธ์ของข้าพเจ้า “ได้รับความช่วยเหลือจากบุคคลต่าง ๆ หลายท่านที่ได้ให้คำแนะนำปรึกษา และแก้ไขรายละเอียดหรือข้อบกพร่องของวิทยานิพนธ์ดังต่อไปนี้

ขอขอบพระคุณ รองศาสตราจารย์ ดร.ชัยพันธุ์ รักวิจัย อาจารย์ที่ปรึกษาวิทยานิพนธ์ ที่ได้ให้คำปรึกษาแนะนำ สนับสนุน การตรวจแก้ไขข้อบกพร่องของวิทยานิพนธ์ และได้กรุณาสั่งสอนปรัชญาในการดำเนินชีวิตและการงาน

ขอขอบพระคุณ ผู้ช่วยศาสตราจารย์ ดร.เสรี จันทรโยธา รองศาสตราจารย์ ดร.สุจิต คุณธนกุลวงศ์ และ รองศาสตราจารย์ ดร.ทวนทัน กิจไพบูลย์สกุล ประธานและกรรมการสอบวิทยานิพนธ์ที่ได้กรุณาสละเวลาของท่านในการให้คำแนะนำปรึกษา และตรวจแก้ไขข้อบกพร่องของวิทยานิพนธ์ รวมทั้งคณาจารย์ภาควิชาศึกษากรรมแหล่งน้ำทุกท่านที่ได้ประสิทธิ์ประสาทวิทยาการต่าง ๆ แก่ข้าพเจ้า

ขอขอบคุณภาควิชาศึกษากรรมแหล่งน้ำ คณะวิศวกรรมศาสตร์ จุฬาลงกรณ์มหาวิทยาลัย ที่ให้การสนับสนุนในด้านสถานที่ อุปกรณ์ เครื่องมือ และ สาธารณูปโภคต่าง ๆ ในการทำวิทยานิพนธ์ ขอขอบคุณบันทิตวิทยาลัย จุฬาลงกรณ์มหาวิทยาลัยและทบทวนมหาวิทยาลัย ที่ให้การสนับสนุนเงินทุนบางส่วนในการทำวิทยานิพนธ์ครั้งนี้

ขอขอบคุณ พี่ ๆ ครุภูมิบดิการทุกท่านที่ได้ช่วยแนะนำ สั่งสอน ให้การสร้างแบบจำลองครั้งนี้สำเร็จลุล่วงไปได้ด้วยดี

ขอขอบคุณ อาจารย์บุศวรรณ โพธิทอง และ คุณ ชัชชัย ห้อมสุด ที่ให้คำปรึกษา แนะนำ สั่งสอน ทั้งความรู้และปรัชญาชีวิต ตลอดจนที่ เพื่อน น้อง ภาควิชาศึกษากรรมแหล่งน้ำ ที่ให้ความช่วยเหลือและกำลังใจ ในขณะทำวิทยานิพนธ์

สุดท้ายนี้ข้าพเจ้าขอกราบขอบพระคุณ บิดา(ผู้ล่วงลับ) มากด้วย ของข้าพเจ้าที่ให้โอกาส ให้กำลังใจ และสนับสนุนการศึกษาของข้าพเจ้ามาโดยตลอด

สารบัญ

	หน้า
บทคัดย่อภาษาไทย.....	๑
บทคัดย่อภาษาอังกฤษ.....	๑
กิตติกรรมประกาศ.....	๒
สารบัญ.....	๓
สารบัญตาราง.....	๔
สารบัญรูป.....	๕
สัญลักษณ์ที่ใช้ในการศึกษา.....	๖
 บทที่ 1 บทนำ.....	 1
1.1 ความเป็นมา.....	1
1.2 วัตถุประสงค์การศึกษา.....	2
1.3 ขอบข่ายการศึกษา.....	2
1.4 การดำเนินงานศึกษา.....	2
1.5 ประโยชน์ที่ได้รับ.....	3
 บทที่ 2 ทฤษฎีและการศึกษาที่ผ่านมา.....	 5
2.1 การให้ผลในทางน้ำ เปิด.....	5
2.2 ลักษณะคลื่น.....	7
2.3 การวิเคราะห์สเปกตรัม.....	7
2.4 การศึกษาที่ผ่านมา.....	12
 บทที่ 3 แบบจำลองชลศาสตร์และการทดลอง.....	 16
3.1 แบบจำลองชลศาสตร์.....	16
3.2 การวัดข้อมูลการทดลอง.....	23
3.3 วิธีการทดลอง.....	27
3.4 ลักษณะข้อมูลการทดลอง.....	30
3.5 ผลการวิเคราะห์สเปกตรัม.....	33

สารบัญ (ต่อ)

๙

หน้า

บทที่ 4 พฤติกรรมชลศาสตร์ของคลองที่เขื่อมต่อทะเล.....	39
4.1 ลักษณะทั่วไปของคลองที่ติดต่อกับทะเล.....	39
4.2 พฤติกรรมการเคลื่อนที่ของอนุภาคน้ำในแบบจำลอง.....	40
4.3 ความสัมพันธ์ของความเร็วทุนตามตำแหน่งทุน.....	43
4.4 การเปลี่ยนแปลงระดับน้ำในคลองที่เขื่อมต่อทะเล.....	64
4.5 ระยะเวลาเทสูงสุด.....	68
บทที่ 5 พฤติกรรมชลศาสตร์การระบายน้ำขึ้นน้ำลง.....	74
5.1 ระบบการระบายน้ำโดยน้ำขึ้นน้ำลง.....	74
5.2 พฤติกรรมการเคลื่อนที่ของอนุภาคน้ำในแบบจำลอง.....	76
5.3 ความสัมพันธ์ความเร็วทุนสูงสุดกับตำแหน่งทุน.....	82
5.4 ความสัมพันธ์ของเวลาเดินทางจากต้นทาง-ปลายทาง.....	92
5.5 ความเร็วเฉลี่ยและอัตราการระบายน้ำเฉลี่ย.....	99
5.6 แนวทางประยุกต์การระบายน้ำขึ้นน้ำลง.....	102
บทที่ 6 สรุปและข้อเสนอแนะ.....	108
6.1 แบบจำลองชลศาสตร์.....	108
6.2 การทดลองในแบบจำลองชลศาสตร์.....	109
6.3 คลองปลายตัน.....	109
6.4 คลองปลาย 2 ด้านเขื่อมต่อทะเล.....	110
6.5 ระบบการระบายน้ำเสียโดยน้ำขึ้นน้ำลง.....	111
6.6 ข้อเสนอแนะ.....	111
6.7 ข้อจำกัดในการศึกษา.....	113
รายการอ้างอิง.....	115

สารบัญ (ต่อ)

๘

หน้า

ภาคผนวก

ภาคผนวก ก การเตรียมการทดลอง.....	118
ภาคผนวก ข กรณีคลองปลายตัน.....	128
ภาคผนวก ค กรณีปลายคลอง 2 ด้านเชื่อมต่อกับทะเล.....	162
ภาคผนวก ง กรณีเปิด-ปิดประตูระบายน้ำตามจังหวะน้ำขึ้นน้ำลง.....	196
ภาคผนวก จ ระดับน้ำสูงสุด-ต่ำสุด.....	283
ภาคผนวก ฉ โปรแกรมจัดเก็บข้อมูล LabVIEW.....	295
ประวัติผู้เขียนวิทยานิพนธ์.....	299

ศูนย์วิทยทรัพยากร
จุฬาลงกรณ์มหาวิทยาลัย

สารบัญตาราง

๗

หน้า

ตาราง 1-1 ขั้นตอนการดำเนินการศึกษา.....	4
ตาราง 3-1 กรณีการทดลองชลศาสตร์ของการซะล้างน้ำในคลองโดยน้ำขึ้นน้ำลง.....	29
ตาราง 3-2 ตัวอย่างตารางระยะเคลื่อนที่ทุ่นสูทธิและความเร็วทุ่น กรณีปากคลอง 2 ด้าน เชื่อมต่อกับทะเล ความสูงคลื่น 0.54 ซม. (จำนวนถังแทนที่น้ำ 2 ถัง) คาบคลื่น 510 วินาที.....	34
ตาราง 3-3 ตัวอย่างตารางระยะเคลื่อนที่ทุ่นสูทธิและความเร็วทุ่น กรณีปากคลอง 1 ด้าน เชื่อมต่อกับทะเล ความสูงคลื่น 0.56 ซม. (จำนวนถังแทนที่น้ำ 2 ถัง) คาบคลื่น 495 วินาที.....	34
ตาราง 3-4 ตัวอย่างตารางระยะเคลื่อนที่ทุ่นสูทธิและความเร็วทุ่น กรณีเปิด-ปิดประตูระบายน้ำ ตามจังหวะน้ำขึ้นน้ำลง ความสูงคลื่น 0.56 ซม. (จำนวนถังแทนที่น้ำ 2 ถัง) คาบคลื่น 500 วินาที.....	35
ตาราง 3-5 ตัวอย่างตารางสูญเสียระยะเคลื่อนจากภาระวิเคราะห์สเปกตรัม กรณีปากคลอง 2 ด้าน เชื่อมต่อกับทะเล.....	37
ตาราง 3-6 สูญเสียความเร็วภาระแนว..... จากการวิเคราะห์สเปกตรัม.....	38
ตาราง 4-1 ค่าพารามิเตอร์ a_f กรณีคลองปลายดัน.....	45
ตาราง 4-2 ค่าพารามิเตอร์ a_f กรณีปลายคลอง 2 ด้านเชื่อมต่อทะเล.....	57
ตาราง 5-1 ค่าพารามิเตอร์ $a b$ ในสมการความเร็วทุ่นสูงสุด(สมการ 5-1).....	84
ตาราง 5-2 ความเร็วเฉลี่ยของภาระแนวในแบบจำลองที่ได้จากการต่างๆ.....	103
ตาราง 6-1 การประเมินค่าใช้จ่ายที่ใช้ในการศึกษา.....	114

**คุณภาพทรัพยากร
อุปกรณ์มหาวิทยาลัย**

สารบัญรูป

	หน้า
รูป 2-1 แรงและตัวแปรต่าง ๆ ในท่าน้ำเปิด.....	6
รูป 2-2 นิยามและค่าตัวแปรต่าง ๆ ของคลื่น.....	8
รูป 2-3 คลื่นไม่สม่ำเสมอและองค์ประกอบคลื่นในทะเล.....	9
รูป 2-4 ระบบโลก ดวงจันทร์ และดวงอาทิตย์.....	9
รูป 2-5 การวิเคราะห์สเปกตรัมของข้อมูลวงจร.....	11
รูป 2-6 ตัวอย่างแนวทางระบบผลักดันน้ำโดยน้ำขึ้นน้ำลง (Tidal Flushing).....	15
รูป 3-1 แบบจำลองชลศาสตร์ของการชะล้างน้ำในคลองโดยน้ำขึ้นน้ำลง.....	17
รูป 3-2 แผนผังแสดงส่วนประกอบต่าง ๆ ของแบบจำลอง และตำแหน่งติดตั้งเครื่องวัด.....	18
รูป 3-3 แบบจำลองชลศาสตร์ของการชะล้างน้ำในคลองโดยน้ำขึ้นน้ำลง.....	19
รูป 3-4 แบบจำลองทะเล.....	21
รูป 3-5 ชุดกำเนิดน้ำขึ้นน้ำลง.....	22
รูป 3-6 เครื่องมือและอุปกรณ์ที่ใช้ในการทดลอง.....	24
รูป 3-7 ตำแหน่งวางทุ่นในแบบจำลอง.....	25
รูป 3-8 แบบจำลองประตุรูบายน้ำ.....	26
รูป 3-9 แผนผังการทดลองชลศาสตร์ของการชะล้างน้ำในคลองโดยน้ำขึ้นน้ำลง.....	28
รูป 3-10 ตัวอย่างผลจากการบันทึกระดับน้ำด้วยเครื่องมือวัดความสูงคลื่น และผลจากการวิเคราะห์สเปกตรัม กรณีความสูงคลื่น ≈ 1.00 ซม. (จำนวนถังแทนที่น้ำ 4 ถัง) คาบคลื่น ≈ 500 วินาที.....	31
รูป 3-11 ตัวอย่างข้อมูลความเร็วกรະแสงน้ำจาก Current meter ตำแหน่งวัดประตุรูบายน้ำ ต้นคลอง กรณีความสูงคลื่น ≈ 0.6 ซม. (จำนวนถังแทนที่น้ำ 2 ถัง) คาบคลื่น ≈ 500 วินาที.....	32
รูป 3-12 ตัวอย่างการวิเคราะห์สเปกตรัม ความเร็วกรະแสงน้ำจาก Current meter กรณีความสูงคลื่น ≈ 0.6 ซม. คาบคลื่น ≈ 500 วินาที.....	36
รูป 4-1 ตัวอย่างความเร็วทุนเฉลี่ย กรณีคลองปลายตัน ความสูงคลื่น 0.56 ซม. (จำนวนถังแทนที่น้ำ 2 ถัง) คาบคลื่น 495 วินาที.....	41
รูป 4-2 ตัวอย่างความเร็วทุนเฉลี่ย กรณีปลายคลอง 2 ด้านเชื่อมต่อกับทะเล ความสูงคลื่น 0.54 ซม. (จำนวนถังแทนที่น้ำ 2 ถัง) คาบคลื่น 510 วินาที.....	42

สารบัญรูป

๑

หน้า

รูป 4-3	ความสัมพันธ์ระหว่างความเร็วทุนเฉลี่ย (น้ำขึ้น) กับตำแหน่งทุน กรณีคลองปลายตัน จากสมการ $\bar{V}_{\text{PH}} / C = m_{\text{PH}} (1 - Lx / Lc)$	44
รูป 4-4	ความสัมพันธ์ระหว่างพารามิเตอร์ m_{PH} กับ Lc / L กรณีคลองปลายตัน	47
รูป 4-5	ความสัมพันธ์ระหว่างพารามิเตอร์ m_{PH} กับ H / L กรณีคลองปลายตัน	47
รูป 4-6	ความสัมพันธ์ระหว่างความเร็วทุนเฉลี่ย (น้ำขึ้น) กับตำแหน่งทุน กรณีคลองปลายตัน จากสมการ $\bar{V}_{\text{PH}} / C = 301(H/L)^{0.92} (1 - Lx / Lc)^{0.96}$	48
รูป 4-7	ความสัมพันธ์ระหว่าง \bar{V}_{PH} / c (จากการทดลอง) กับ \bar{V}_{PH} / c (สมการ) กรณีคลอง ปลายตัน	49
รูป 4-8	ความสัมพันธ์ระหว่างความเร็วทุนเฉลี่ย (น้ำลง) กับตำแหน่งทุน กรณีคลองปลายตัน จากสมการ $\bar{V}_L / C = m_{\text{PL}} (1 - Lx / Lc)$	51
รูป 4-9	ความสัมพันธ์ระหว่างพารามิเตอร์ m_{PL} กับ Lc / L กรณีคลองปลายตัน	52
รูป 4-10	ความสัมพันธ์ระหว่างพารามิเตอร์ m_{PL} กับ H / L กรณีคลองปลายตัน	52
รูป 4-11	ความสัมพันธ์ระหว่างความเร็วทุนเฉลี่ย (น้ำลง) กับตำแหน่งทุน กรณีคลองปลายตัน จากสมการ $\bar{V}_{\text{PL}} / C = 660(H/L)^{0.99} (1 - Lx / Lc)^{0.94}$	53
รูป 4-12	ความสัมพันธ์ระหว่าง \bar{V}_{PL} / c (ข้อมูล) กับ \bar{V}_{PL} / c (สมการ) กรณีคลอง ปลายตัน	54
รูป 4-13	ความสัมพันธ์ระหว่างความเร็วทุนเฉลี่ย (น้ำขึ้น) กับตำแหน่งทุน กรณีปลายคลอง 2 ด้านเชื่อมต่อทะเล จากสมการ $\bar{V}_{\text{PH}} / C = m_{\text{PH}} (1 - Lx / Lc)$	56
รูป 4-14	ความสัมพันธ์ระหว่างพารามิเตอร์ m_{PH} กับ Lc / L กรณีปลายคลอง 2 ด้านเชื่อมต่อ ทะเล	58
รูป 4-15	ความสัมพันธ์ระหว่างพารามิเตอร์ m_{PH} กับ H / L กรณีปลายคลอง 2 ด้านเชื่อมต่อ ทะเล	58
รูป 4-16	ความสัมพันธ์ระหว่างความเร็วทุนเฉลี่ย (น้ำขึ้น) กับตำแหน่งทุน กรณีปลายคลอง 2 ด้านเชื่อมต่อทะเล จากสมการ $\bar{V}_{\text{PH}} / C = 74(H/L)^{0.76} (0.5 - Lx / Lc)^{1.14}$	60
รูป 4-17	ความสัมพันธ์ระหว่าง \bar{V}_{PH} / c (จากการทดลอง) กับ \bar{V}_{PH} / c (สมการ) กรณีปลาย คลอง 2 ด้านเชื่อมต่อทะเล	61
รูป 4-18	ความสัมพันธ์ระหว่างความเร็วทุนเฉลี่ย (น้ำลง) กับตำแหน่งทุน กรณีปลายคลอง 2 ด้านเชื่อมต่อทะเล จากสมการ $\bar{V}_{\text{PL}} / C = m_{\text{PL}} (0.5 - Lx / Lc)$	62

สารบัญรูป

๙

หน้า

รูป 4-19 ความสัมพันธ์ระหว่างพารามิเตอร์ t_{fl} กับ Lc/L กรณีปลายคลอง 2 ด้านเชื่อมต่อ ทະເລ.....	63
รูป 4-20 ความสัมพันธ์ระหว่างพารามิเตอร์ t_{fl} กับ H/L กรณีปลายคลอง 2 ด้านเชื่อมต่อ ทະເລ.....	63
รูป 4-21 ความสัมพันธ์ระหว่างความเร็วทุนเฉลี่ย (น้ำลง) กับตำแหน่งทุน กรณีปลายคลอง 2 ด้านเชื่อมต่อทະເລ จากสมการ $\bar{V}_{fl}/C = 121(H/L)^{0.84} (0.5 - Lx/Lc)^{0.95}$	65
รูป 4-22 ความสัมพันธ์ระหว่าง \bar{V}_{fl}/C (จากการทดลอง) กับ \bar{V}_{fl}/C (สมการ) กรณีปลาย คลอง 2 ด้านเชื่อมต่อทະເລ.....	66
รูป 4-23 ความสัมพันธ์ระหว่างอัตราสวนคลื่นขยายตัว Hr กับ Lc/L ที่ตำแหน่งต่างๆ ของ คลอง กรณีคลองปลายตัน.....	67
รูป 4-24 ความสัมพันธ์ระหว่างอัตราสวนคลื่นขยายตัว Hr กับ H/L ที่ตำแหน่งต่างๆ ของ คลอง กรณีคลองปลายตัน.....	69
รูป 4-25 ความสัมพันธ์ระหว่างอัตราสวนคลื่นขยายตัว Hr กับ Lc/L ที่ตำแหน่งต่างๆ ของ คลอง กรณีปลายคลอง 2 ด้านเชื่อมต่อทະເລ.....	70
รูป 4-26 ความสัมพันธ์ระยะถ่ายเทสูงสุดจากปากคลอง X/L กับความยาวคลอง Lc/L กรณีคลองปลายตัน.....	71
รูป 4-27 ความสัมพันธ์ระยะถ่ายเทสูงสุดจากปากคลอง X/L กับความยาวคลอง Lc/L กรณีปลายคลอง 2 ด้านเชื่อมต่อทະເລ.....	71
รูป 4-28 ความสัมพันธ์ระยะถ่ายเทสูงสุดจากปากคลอง X/L กับขนาดคลื่น H/L กรณีคลองปลายตัน.....	72
รูป 4-29 ความสัมพันธ์ระยะถ่ายเทสูงสุดจากปากคลอง X/L กับขนาดคลื่น H/L กรณีปลายคลอง 2 ด้านเชื่อมต่อทະເລ.....	72
รูป 5-1 ลักษณะภายนอกคลองหัวไทร.....	75
รูป 5-2 ตัวอย่างความเร็วทุน 1 ม. ณ ตำแหน่งต่างๆ กรณีเปิด-ปิดประตูน้ำตามจังหวะ น้ำขึ้นน้ำลง ความสูงคลื่น 0.56 ซม. (จำนวนถังแทนที่น้ำ 2 ถัง) ค่าบคลื่น 498 วินาที.....	78

สารบัญรูป

๗

หน้า

รูป 5-3	ตัวอย่างความเร็วทุ่น 7 ม. ณ ตำแหน่งต่างๆ กรณีเปิด-ปิดประตูระบายน้ำตามจังหวะ น้ำขึ้นน้ำลง ความสูงคลื่น 0.56 ซม. (จำนวนถังแทนที่น้ำ 2 ถัง) คาบคลื่น 498 วินาที.....	79
รูป 5-4	ตัวอย่างความเร็วทุ่น 13 ม. ณ ตำแหน่งต่างๆ กรณีเปิด-ปิดประตูน้ำตามจังหวะ น้ำขึ้นน้ำลง ความสูงคลื่น 0.56 ซม. (จำนวนถังแทนที่น้ำ 2 ถัง) คาบคลื่น 498 วินาที.....	80
รูป 5-5	เปรียบเทียบความเร็วทุ่น 1 ม. 7 ม. และ 13 ม. ณ ตำแหน่งต่างๆ กรณีเปิด-ปิด ประตูตามจังหวะน้ำขึ้นน้ำลง ความสูงคลื่น 0.56 ซม. (จำนวนถังแทนที่น้ำ 2 ถัง) คาบคลื่น 498 วินาที.....	81
รูป 5-6	ความสัมพันธ์ความเร็วทุนสูงสุด (ช่วงน้ำขึ้น) กับตำแหน่งทุ่น $V_{fmH} / C = ae^{b(Lx/Lc)}$	83
รูป 5-7	ความสัมพันธ์ระหว่างพารามิเตอร์ a กับ Lc/L ในช่วงน้ำขึ้น.....	85
รูป 5-8	ความสัมพันธ์ระหว่างพารามิเตอร์ a กับ H/L ในช่วงน้ำขึ้น.....	85
รูป 5-9	ความสัมพันธ์ระหว่างพารามิเตอร์ b กับ Lc/L ในช่วงน้ำขึ้น.....	86
รูป 5-10	ความสัมพันธ์ระหว่างพารามิเตอร์ b กับ H/L ในช่วงน้ำขึ้น.....	86
รูป 5-11	ความสัมพันธ์ระหว่างความเร็วทุนสูงสุด (ช่วงน้ำขึ้น) กับตำแหน่งทุ่น $V_{fmH} / C = 3.5 \times 10^3 (H/L)^{1.10} e^{-2.95(Lx/Lc)}$	88
รูป 5-12	ความสัมพันธ์ระหว่าง V_{fmH} / C (จากการทดลอง) กับ V_{fmH} / C (สมการ) ในช่วงน้ำขึ้น.....	89
รูป 5-13	ความสัมพันธ์ระหว่างความเร็วทุนสูงสุด (ช่วงน้ำลง) กับตำแหน่งทุ่น $V_{fmH} / C = ae^{b(Lx/Lc)}$	90
รูป 5-14	ความสัมพันธ์ระหว่างพารามิเตอร์ a กับ Lc/L ในช่วงน้ำลง.....	91
รูป 5-15	ความสัมพันธ์ระหว่างพารามิเตอร์ a กับ H/L ในช่วงน้ำลง.....	91
รูป 5-16	ความสัมพันธ์ระหว่างพารามิเตอร์ b กับ Lc/L ในช่วงน้ำลง.....	92
รูป 5-17	ความสัมพันธ์ระหว่างพารามิเตอร์ b กับ H/L ในช่วงน้ำลง.....	92
รูป 5-18	ความสัมพันธ์ระหว่างความเร็วทุนสูงสุด (ช่วงน้ำลง) กับตำแหน่งทุ่น จาก $V_{fmL} / C = 340(H/L)^{1.12} e^{2.27(Lx/Lc)}$	94

รูป 5-19 ความสัมพันธ์ระหว่าง V_{fmL} / C (จากการทดลอง) กับ V_{fmL} / C (สมการ) ในช่วงน้ำล้ง.....	95
รูป 5-20 ความสัมพันธ์ระหว่างเวลาที่ใช้เดินทางต่อค่าบคลื่นกับความยาวคลอง.....	97
รูป 5-21 ความสัมพันธ์ระหว่างเวลาที่ใช้เดินทางต่อค่าบคลื่นกับความชันคลื่น.....	97
รูป 5-22 ความสัมพันธ์ระหว่างเวลาที่ใช้เดินทางต่อค่าบคลื่นกับความยาวคลอง และความชัน คลื่นจากสมการ $tr / T = 6.6 \times 10^{-4} (H/L)^{-1.15} (Lc/L)$	97
รูป 5-23 ความสัมพันธ์ระหว่าง tr / T (จากการทดลอง) กับ tr / T (สมการ).....	98
รูป 5-24 ความสัมพันธ์ระหว่างความเร็วทุนเฉลี่ย(จังหวะน้ำขึ้น-น้ำลง)ต่อความเร็วคลื่น กับความชันคลื่น.....	100
รูป 5-25 ความสัมพันธ์ระหว่างความเร็วทุนเฉลี่ย(current meter)ต่อความเร็วคลื่น กับความชันคลื่น.....	100
รูป 5-26 ความสัมพันธ์ระหว่างความเร็วทุนเฉลี่ย(คำนวณจากผลการเคลื่อนที่)ต่อความเร็ว คลื่นกับความชันคลื่น.....	100
รูป 5-27 ความสัมพันธ์ระหว่างความเร็วทุนเฉลี่ยต่อความเร็วคลื่นกับความยาวคลอง.....	100
รูป 5-28 ความสัมพันธ์ระหว่างความเร็วทุนเฉลี่ยต่อความเร็วคลื่นกับความยาวคลอง และความชันคลื่นจากสมการ $\bar{V}_f / C = 1.50 \times 10^3 (H/L)^{1.14}$	101
รูป 5-29 ความสัมพันธ์ระหว่างความเร็วทุนเฉลี่ยต่อความเร็วคลื่นกับความชันคลื่น H/L ต่ำๆ.....	101
รูป 5-30 การกระจายความเร็วในทางน้ำสีเหลี่ยม.....	103
รูป 5-31 ตัวอย่างแนวทางการจะล้างคลองทิวังตัวข่านกับแนวชายฝั่ง.....	106

จุฬาลงกรณ์มหาวิทยาลัย

สัญลักษณ์ที่ใช้ในการศึกษา

A	พื้นที่หน้าตัดทางน้ำ
C	ความเร็วคลื่นน้ำขึ้นน้ำลง
C_t	สมประสิทธิ์ปรับแก้ความเร็ว
d	ความลึกเฉลี่ย
H	ความสูงคลื่น
Hr	อัตราส่วนคลื่นขยายตัว
L	ความยาวคลื่น
Lc	ความยาวคลอง
Lx	ตำแหน่งทุ่นบนทางน้ำ
\bar{Q}_s	อัตราการระบายน้ำเฉลี่ย
T	คาบคลื่น
tr	เวลาเดินทางของอนุภาคน้ำจากประตูรระบายน้ำต้นทาง ถึงประตูรระบายน้ำปลายทาง
\bar{V}	ความเร็วทุนเฉลี่ยตลอดทางน้ำ (จังหวะน้ำขึ้น-น้ำลง)
\bar{V}_c	ความเร็วเฉลี่ย (current meter)
\bar{V}_f	ความเร็วทุนเฉลี่ยตลอดทางน้ำ (Lc/tr)
\bar{V}_{fh}	ความเร็วทุนเฉลี่ยในช่วงน้ำขึ้น
\bar{V}_{fl}	ความเร็วทุนเฉลี่ยในช่วงน้ำลง
V_{fmH}	ความเร็วทุนสูงสุดช่วงน้ำขึ้น
V_{fmL}	ความเร็วทุนสูงสุดช่วงน้ำลง
\bar{V}_s	ความเร็วเฉลี่ยหน้าตัดทางน้ำ
X	ระยะถ่ายเทสูงสุด